
机器人导论-复习课

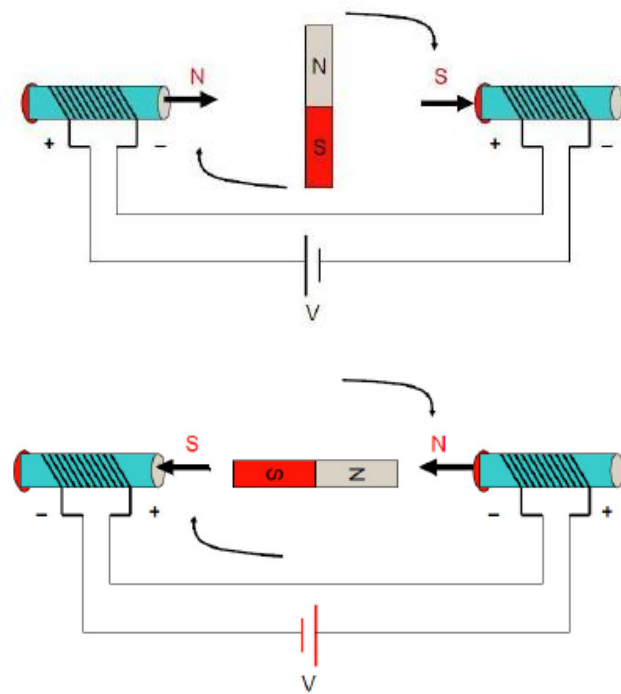
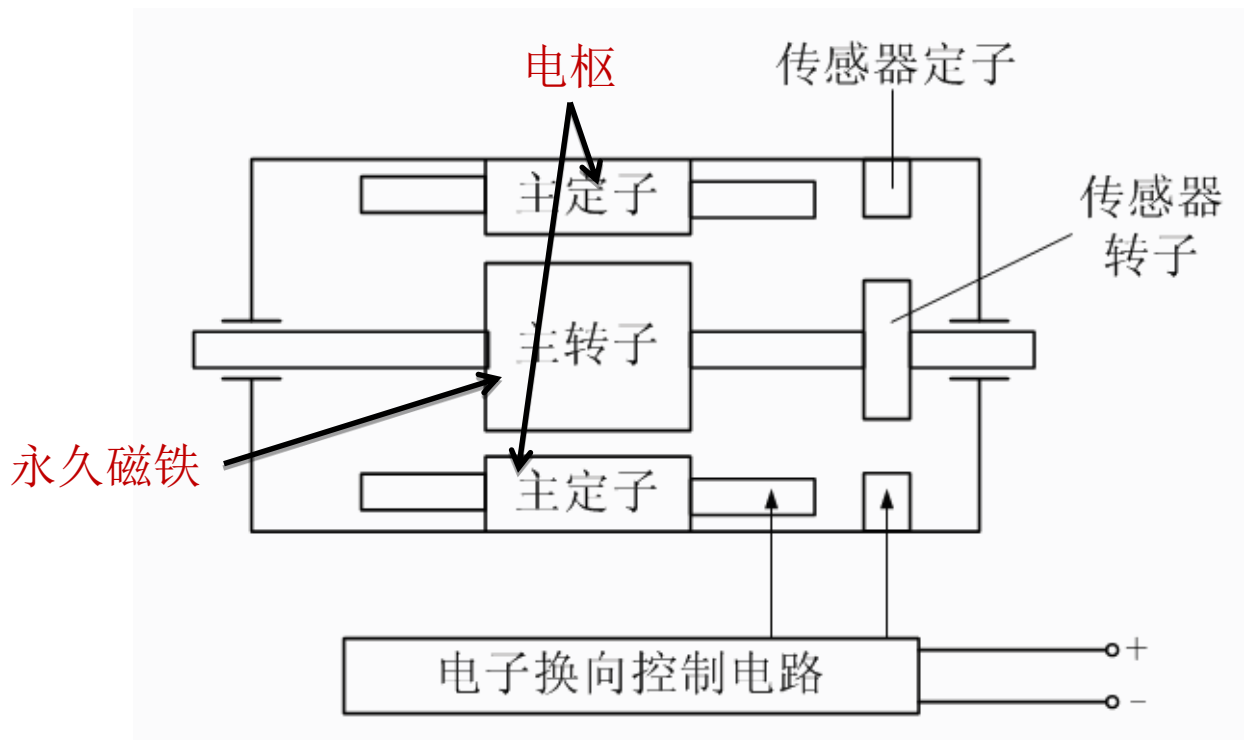


朱秋国
控制科学与工程学院

2023年4月21日



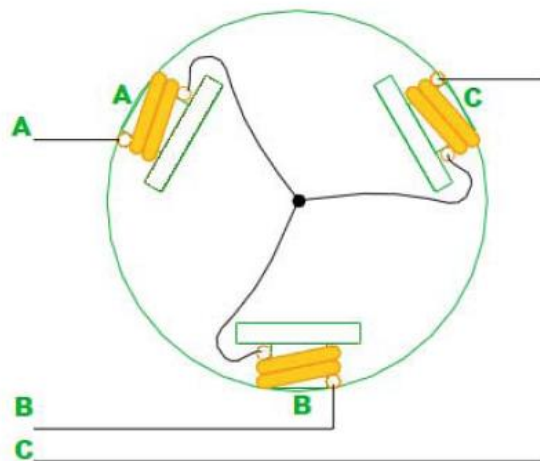
无刷直流电机结构



- 1、无刷直流电机由**电机本体**、**位置传感器**、**电子换向电路**三大部分组成。
- 2、电机主体由主定子、主转子组成。**主转子是永久磁铁**，**主定子是电枢**。当定子绕组通直流电时，与转子作用产生电磁转矩，定子电流必须根据转子的位置变化适时换向，才能获得单一方向的电磁转矩，使电机转动。

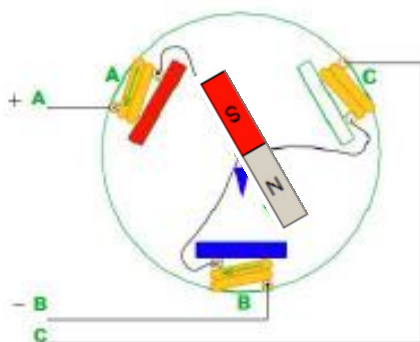
无刷直流电机结构

一般而言，无刷电机的绕组有星形联结方式和三角联结方式，而三相星形联结（Y型）的二二导通方式最为常见。我们以三相3绕组2极（1对极）为例：

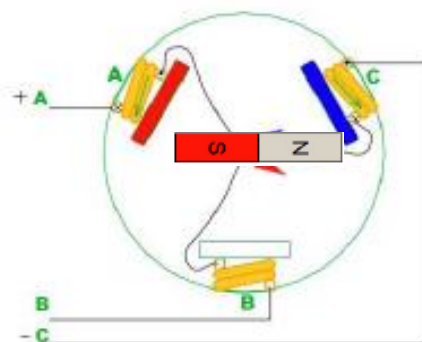


整个电机就引出三根线A, B, C。当它们之间两两通电时，有6种情况，分别是AB, AC, BC, BA, CA, CB。

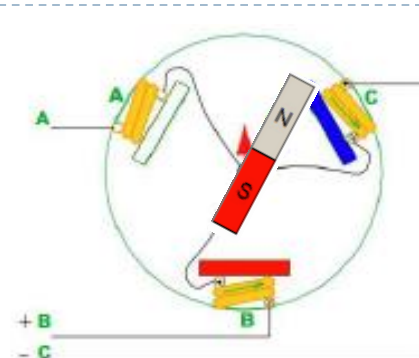
红色和蓝色分别表示磁感应强度的方向



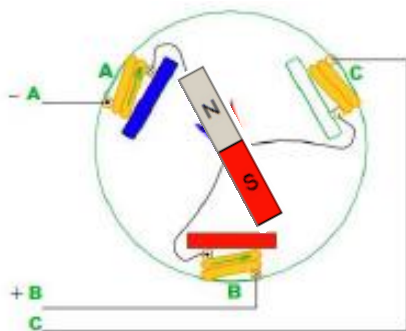
(a) AB 相通电情形



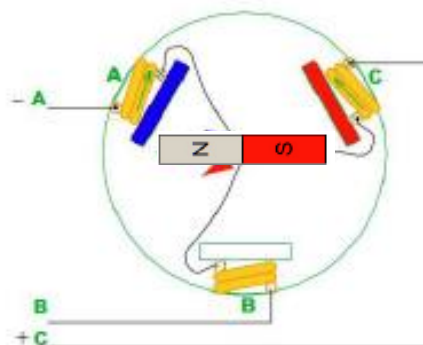
(b) AC 相通电情形



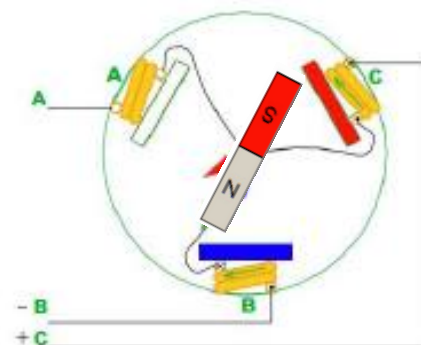
(c) BC 相通电情形



(d) BA 相通电情形



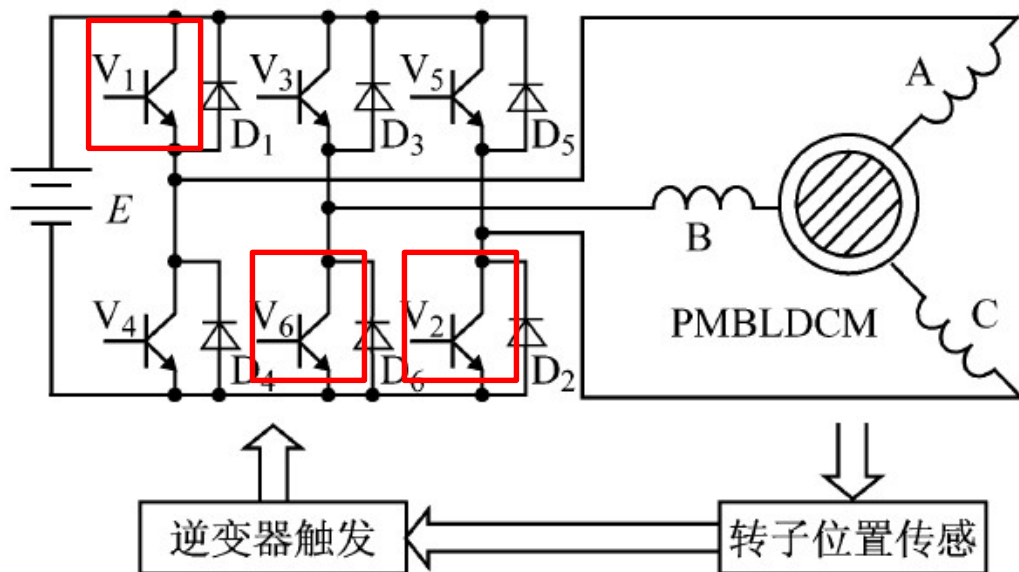
(e) CA 相通电情形



(f) CB 相通电情形

注意：换相只与转子位置有关，与速度无关

无刷直流电机结构



六臂全桥驱动原理图

角度	0	60	120	180	240	300	360
导通顺序	A		B		C		
	B		C		A		B
V1	■						
V2			■				
V3			■				
V4					■		
V5					■		
V6	■						■

绕组导通的状态

位置传感器：光电编码器、霍尔传感器。

一般在电机的不同位置上装三个霍尔传感器，就可测出转子的位置。

三个最重要的物理量

电枢电动势 E_a 、电磁转矩 T 和电磁功率 P

$$E_a = K_e n$$

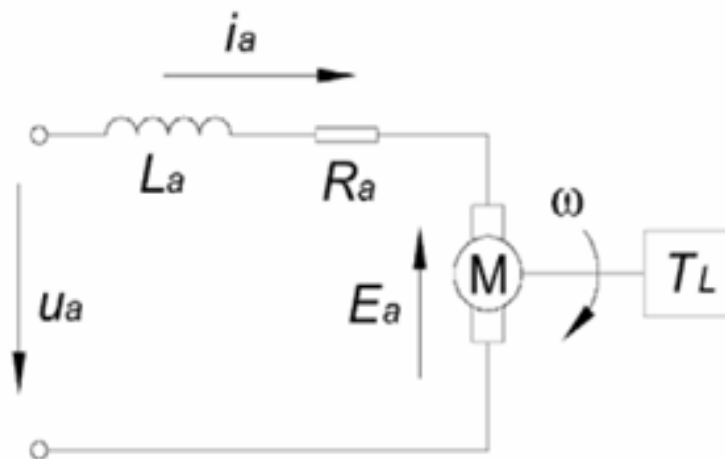
$$T = K_m I$$

$$P = E_a \cdot I = T \cdot \omega$$

K_e 是速度常数

K_m 是力矩常数

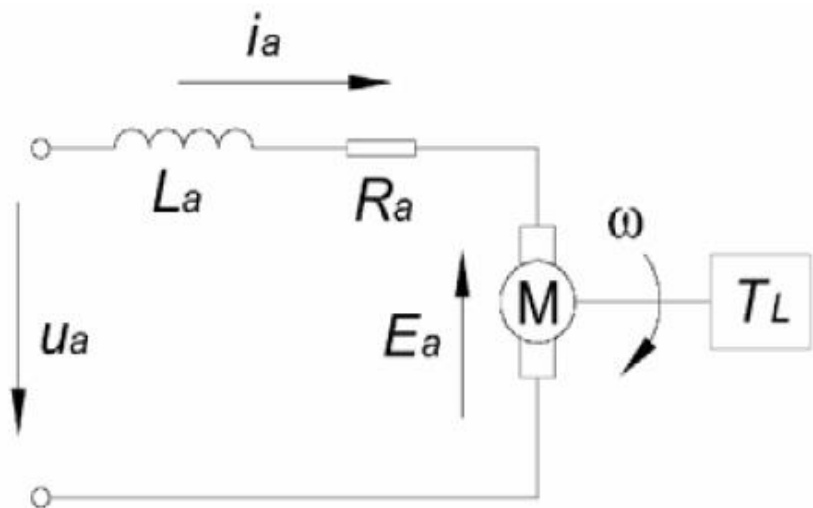
n 是电机转速， I 是电枢电流， ω 是角速度



- 转速与感应电动势成正比
- 力矩与电流大小成正比

转矩和转速的关系

直流伺服电机电枢等效电路



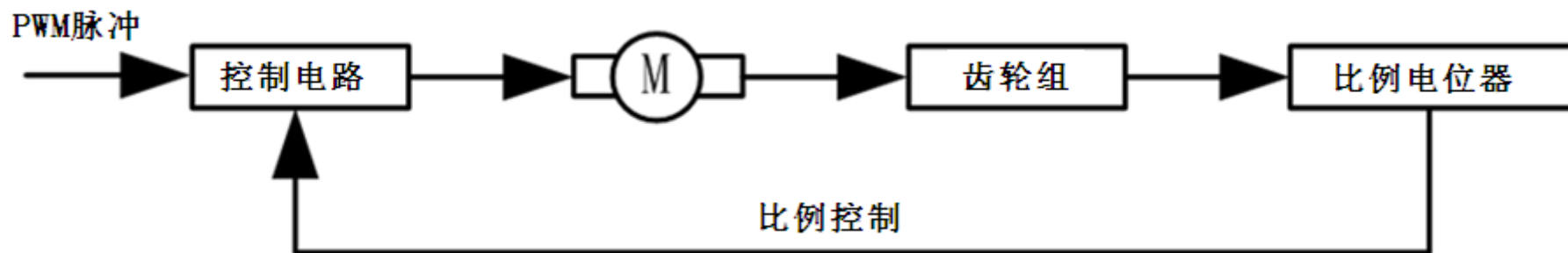
$$U = E_a + I \cdot R_a = K_e \cdot n + I \cdot R_a$$

$$n = \frac{U - I \cdot R_a}{K_e}$$

简单起见，可以忽略电枢回路中的调节电阻。

检查电机是否烧坏，可以通过测量电机绕组的值是否正常来判断。

模拟舵机



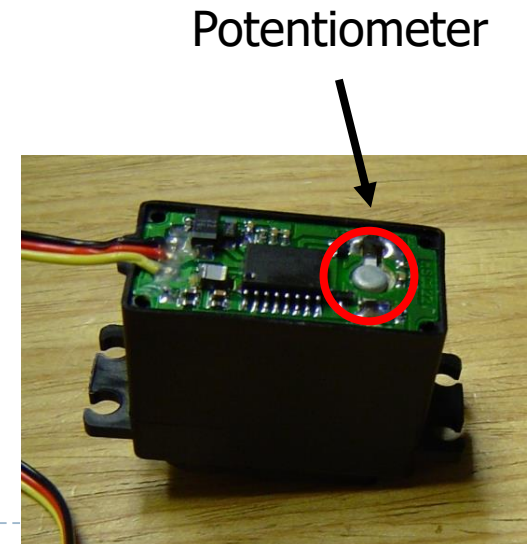
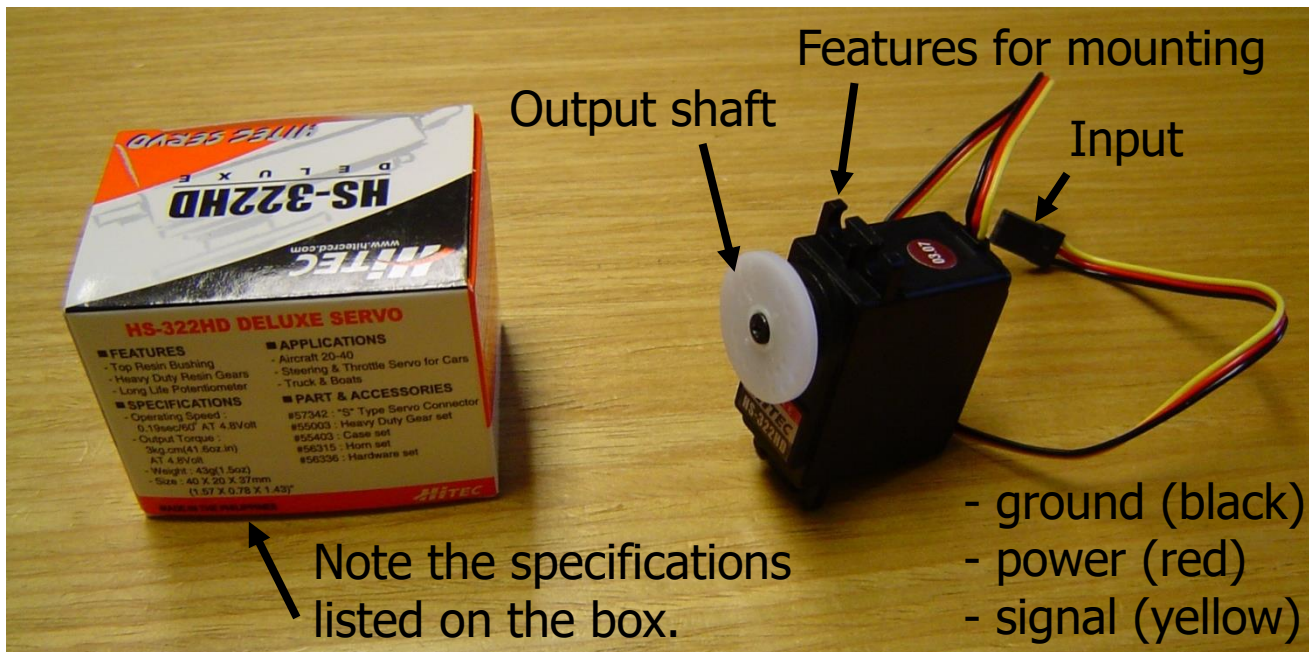
舵机系统原理图

根据上图，请问舵机采用的是什么控制？

模拟舵机

减速齿轮组由电机驱动，其输出带动一个线性的比例电位器作为位置检测，该电位器把转角坐标转换为比例电压反馈给控制线路板，控制线路板将其与输入的控制脉冲信号比较，产生纠正脉冲，并驱动电机正/反转。

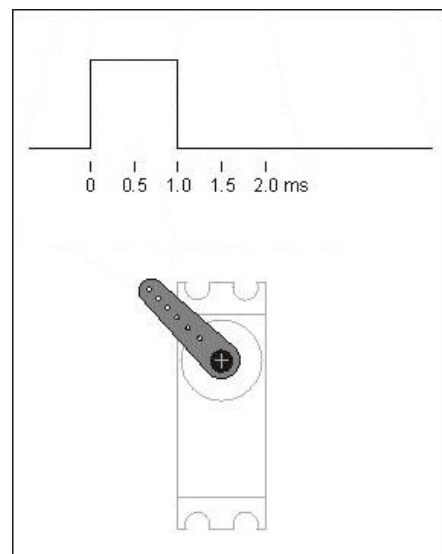
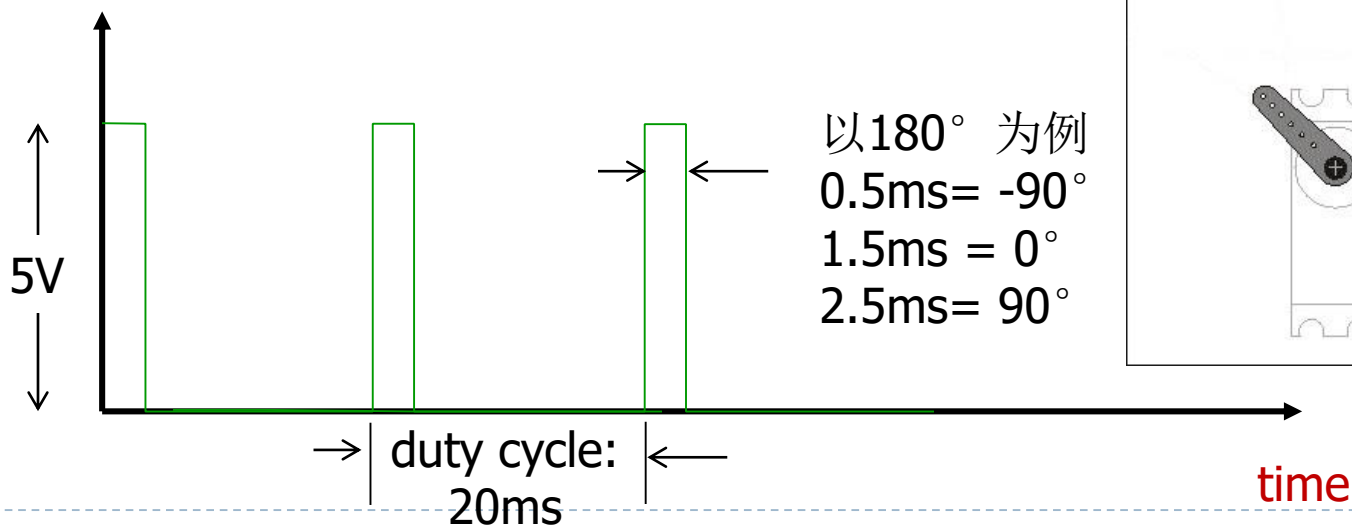
标准舵机有三条控制线，分别为**电源线**、**地线**和**控制线**。控制线连接到控制芯片上。



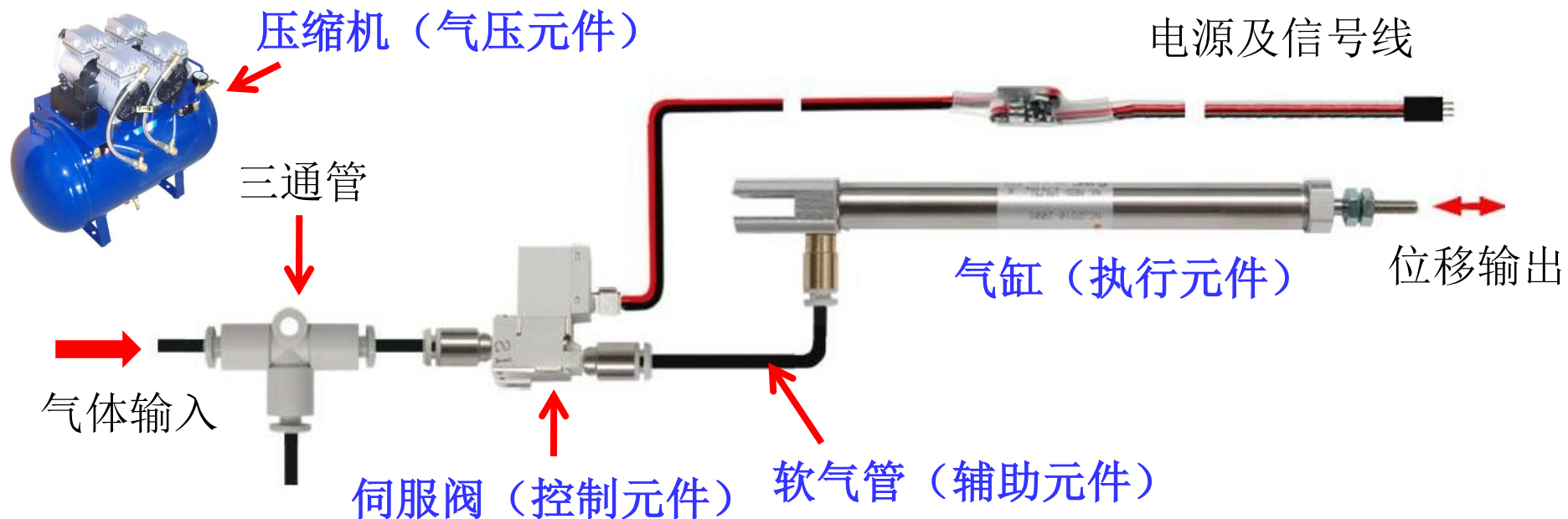
舵机位置控制

- ← 舵机转动角度由**PWM**（脉冲宽度调制）信号的占空比来实现；
- ← **PWM**周期为**20ms**，脉宽分布在**0.5~2.5ms**之间；
- ← 不同脉宽对应不同转角位置。

黄色信号线的电压值



机器人用简易气动设计



一个简易的气动系统由：气压元件、控制元件、执行元件和辅助元件组成。使用气动要注意安全。

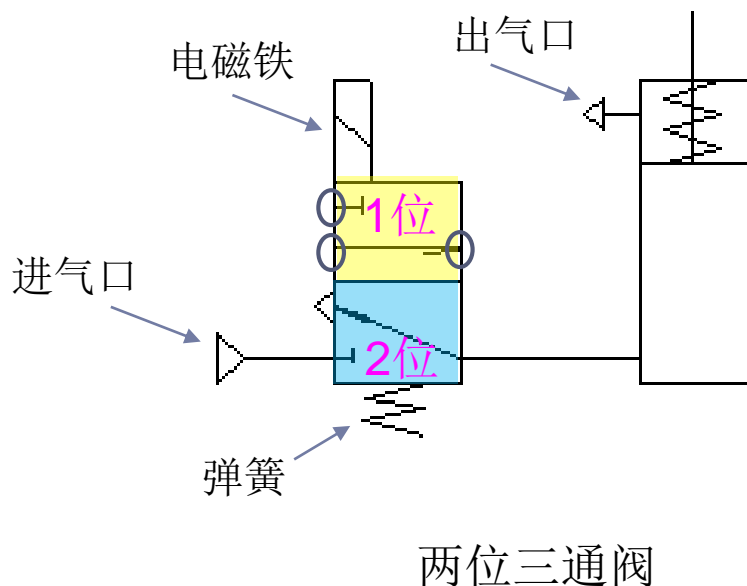
气动驱动系统

- ▶ **气压元件：**气源装置，其功能是将原动机输入的机械能转换成流体的压力能，为系统提供动力
 - ▶ **执行元件：气缸、气马达，**功能是将流体的压力能转换成机械能，输出力和速度或转矩和转速），以带动负载进行直线运动或旋转运动
 - ▶ **控制元件：压力、流量和方向控制阀，**作用是控制和调节系统中流体的压力、流量和流动方向，以保证执行元件达到所要求的输出力（或力矩）、运动速度和运动方向
 - ▶ **辅助元件：**保证系统正常工作所需要的辅助装置，包括**管道、管接头、储气罐、过滤器和压力计**
-

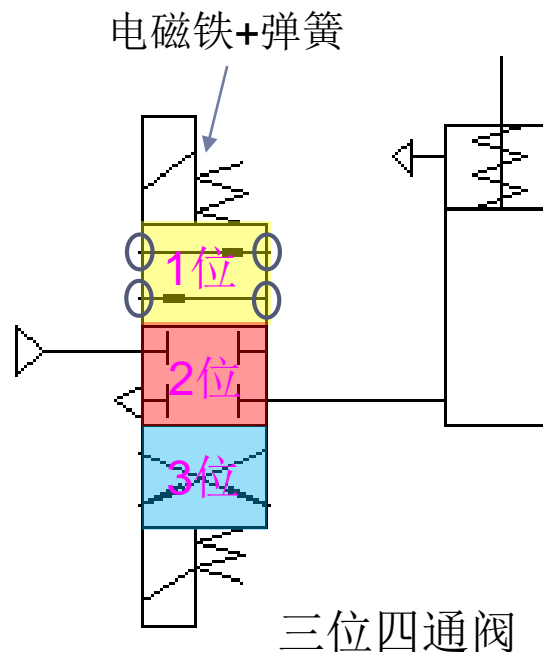
方向控制回路

► 单作用气缸换向回路

► 掌握几位几通的概念



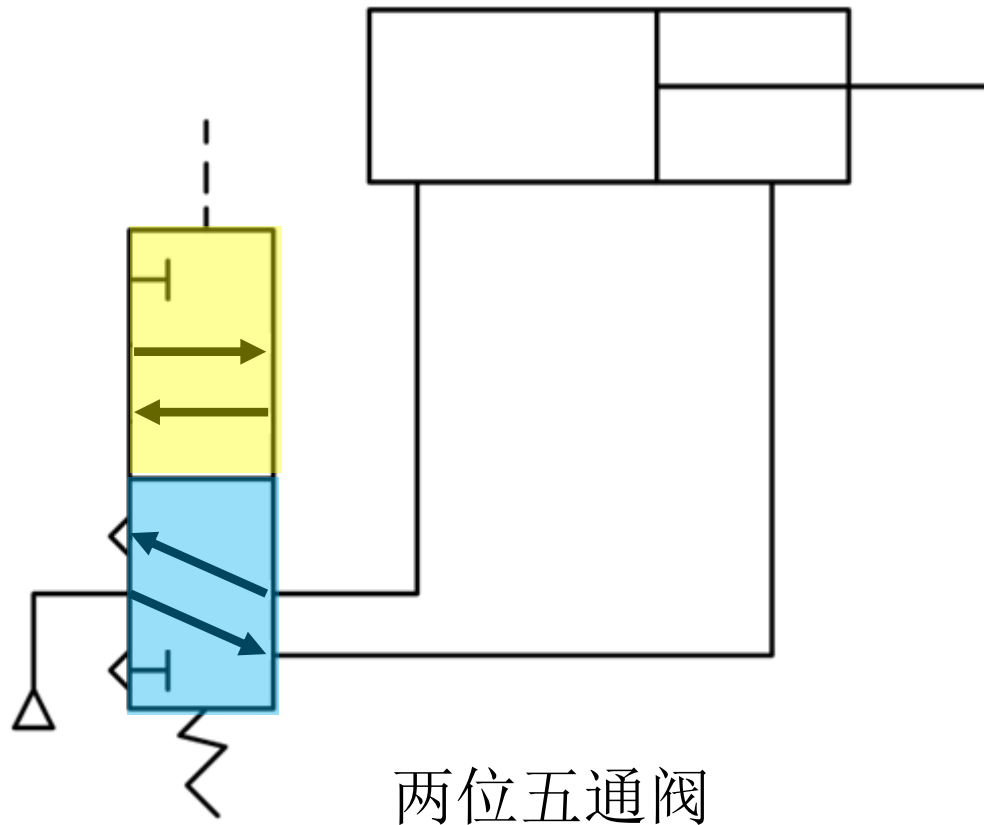
(a)



(b)

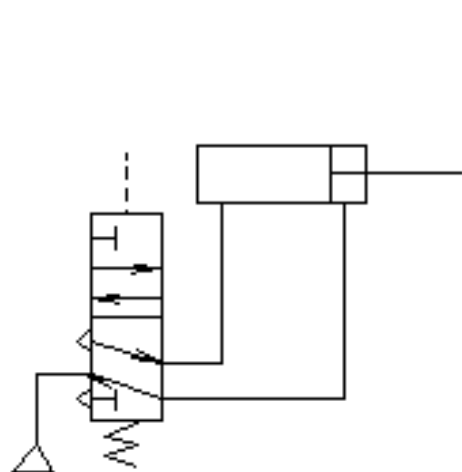
方向控制回路

► 双作用气缸换向回路

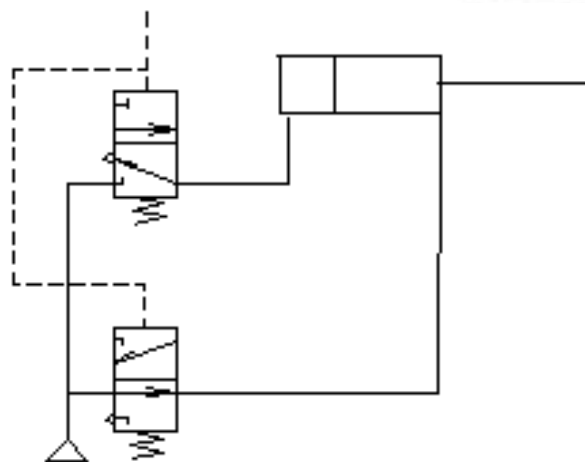


方向控制回路

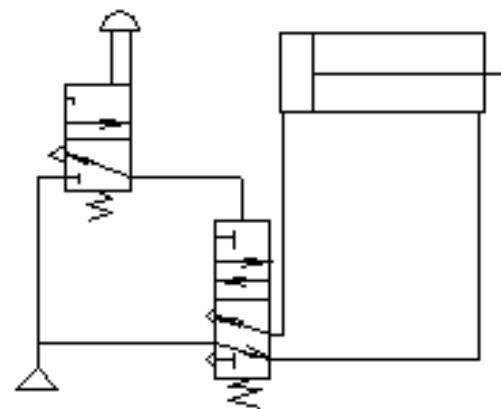
► 双作用气缸换向回路



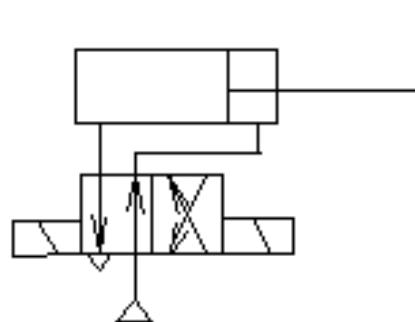
(a)



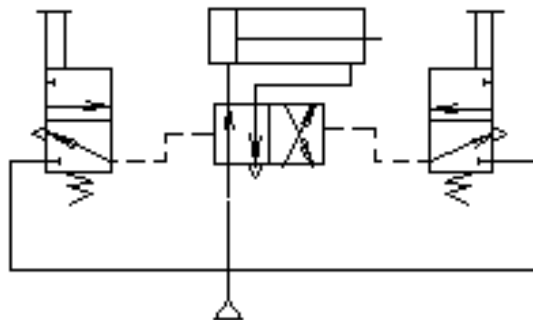
(b)



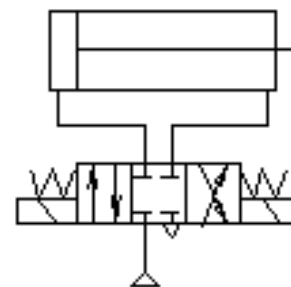
(c)



(d)



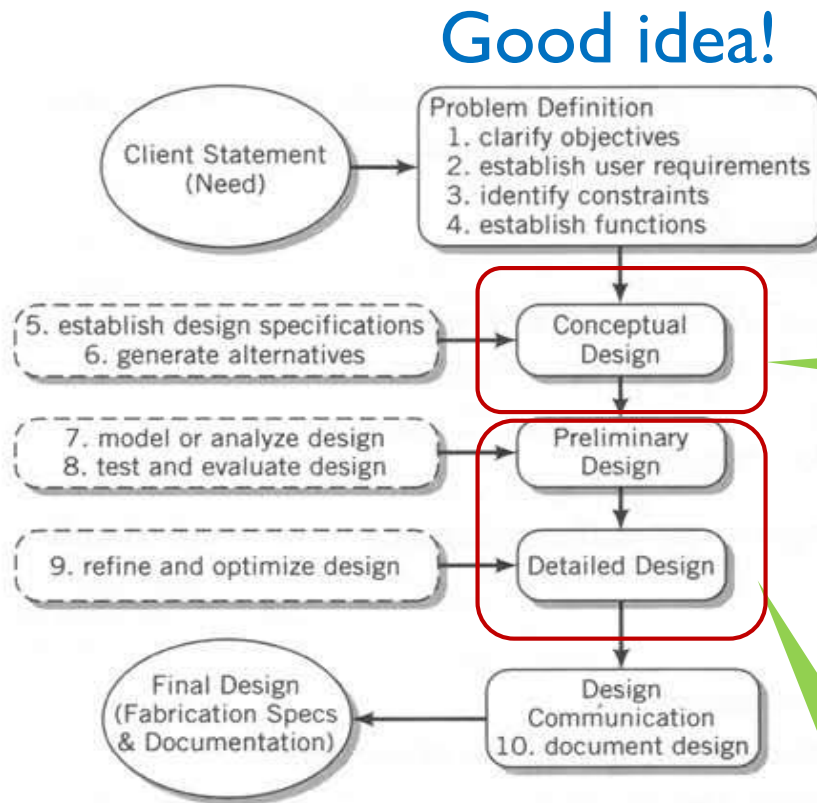
(e)



(f)

设计流程

► The Design Process: As a Flow Chart



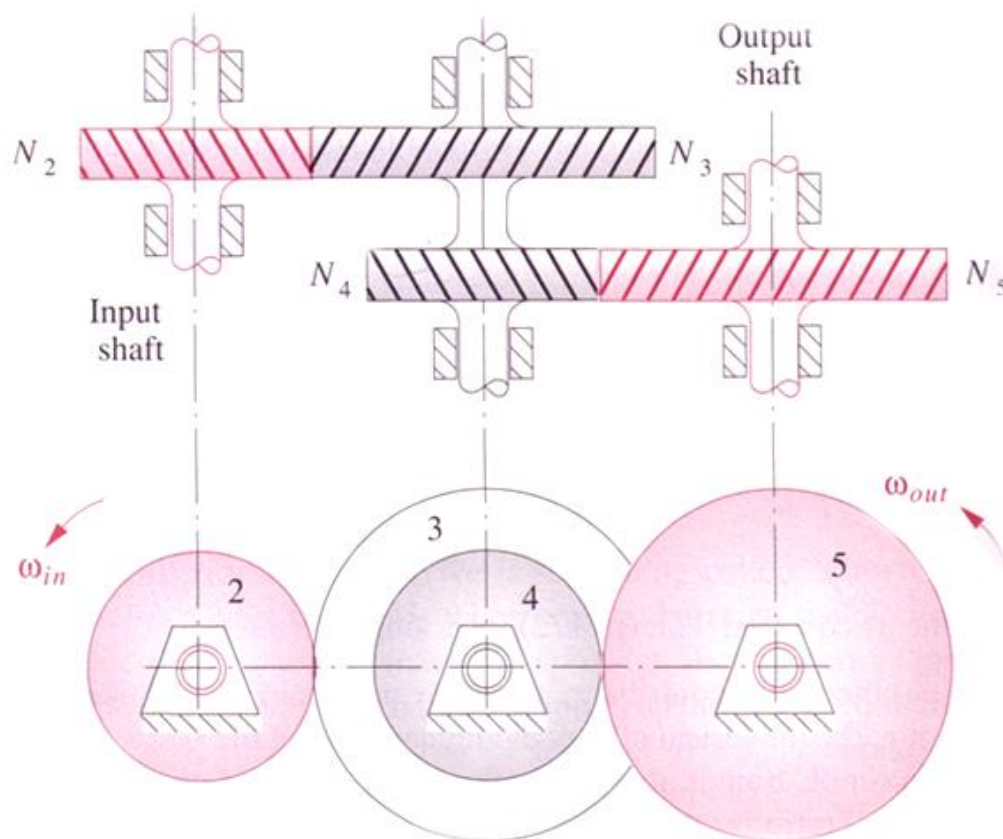
分解和迭代是必不可少的！
Decomposition and iteration are also essential.

《机器人设计》

Figure 2.3 A prescriptive, five-stage model of the design process. Like the previous model, this model is also very stylized in that the process is shown as a linear sequence of artifacts (*need* and *final design*) and design phases, within which are situated the design tasks.

《机器人制作》

定轴齿轮箱



- 1、所有转动轴可以是平行的或者交错的；
- 2、每个轴上可以有多个齿轮。

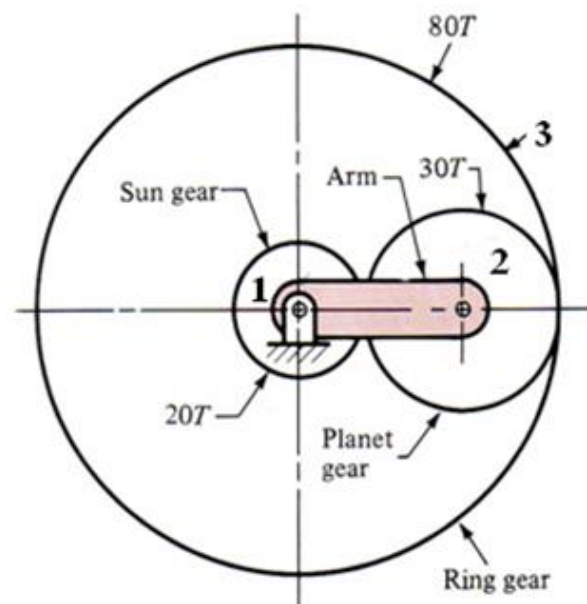
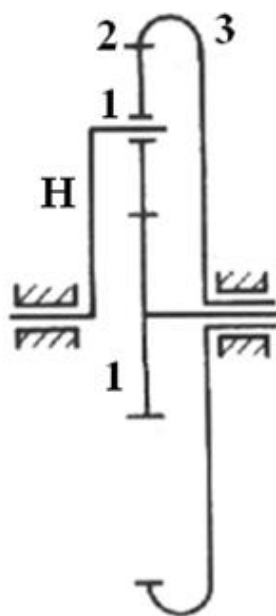
周转轮系

在齿轮系中，**至少有一个齿轮的轴线不固定**，而是绕另一个齿轮的轴线转动的轮系。

部件：1、3，称为太阳轮（可作为**输入/输出**）

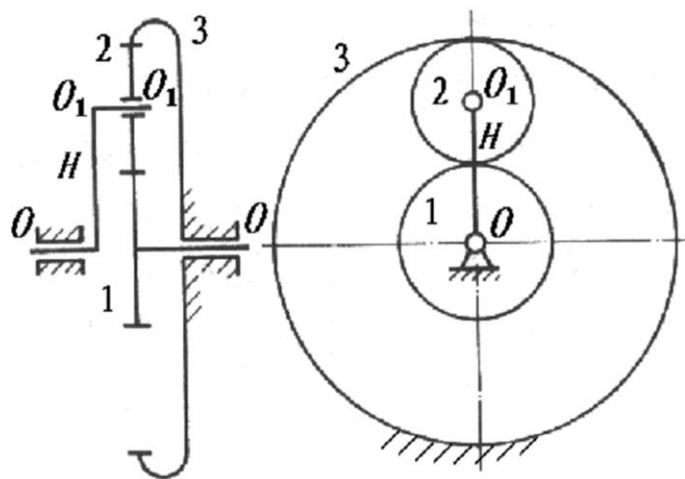
部件：H，称为行星架（可作为**输出/输入**）

部件：2，称为行星轮



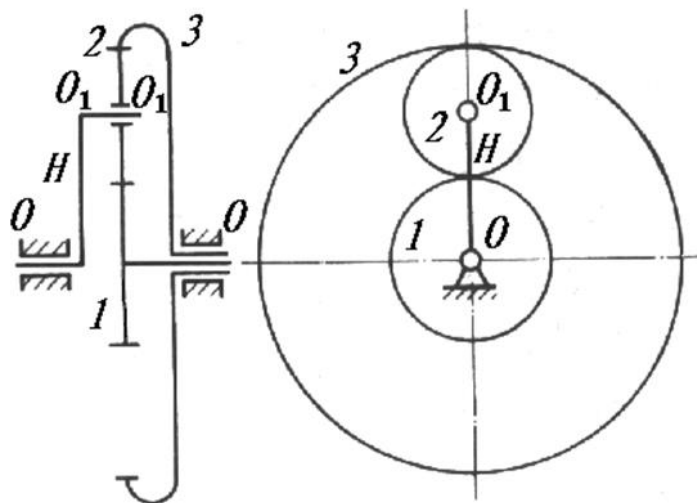
- 太阳轮与行星轮啮合
- 行星轮自转与公转
- 行星架支撑行星轮

周转轮系:



行星轮系

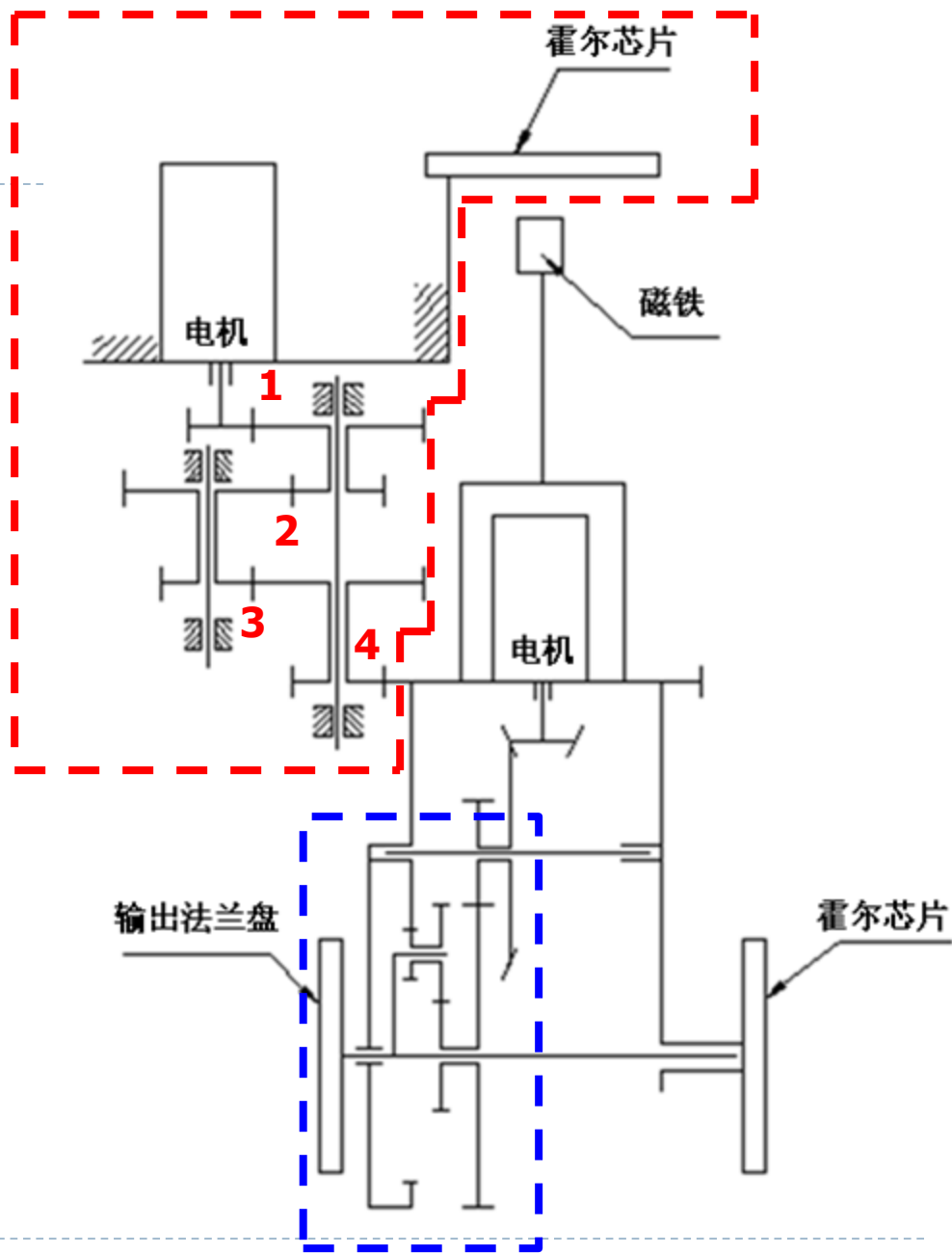
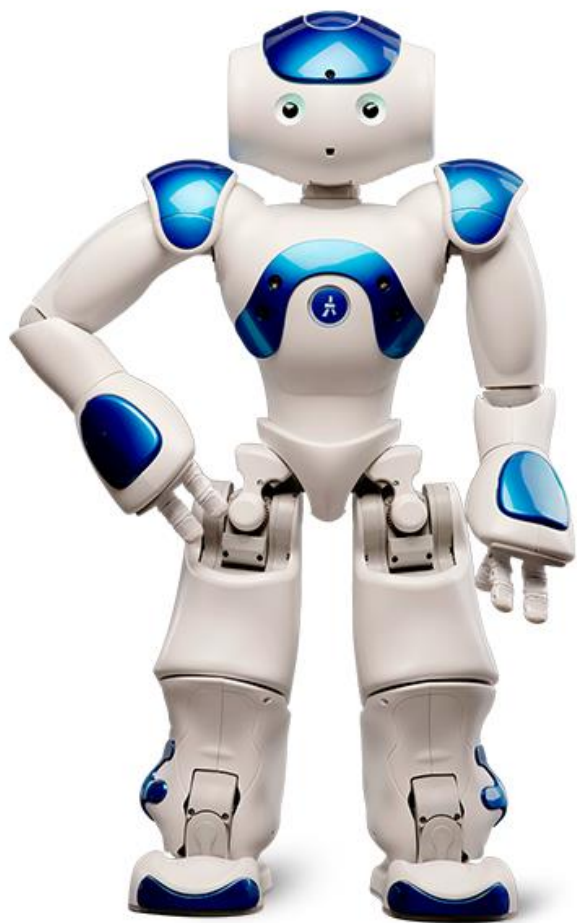
行星轮系有**1DOF**自由度，
一个太阳轮必须件固定，
只需给定一个独立的运动。



差动轮系

差动轮系有**2DOF**自由度；
太阳轮均可动，且3个部件均
可动，需要给定两个独立的运
动，可用作运动的合成或分解。

应用实例



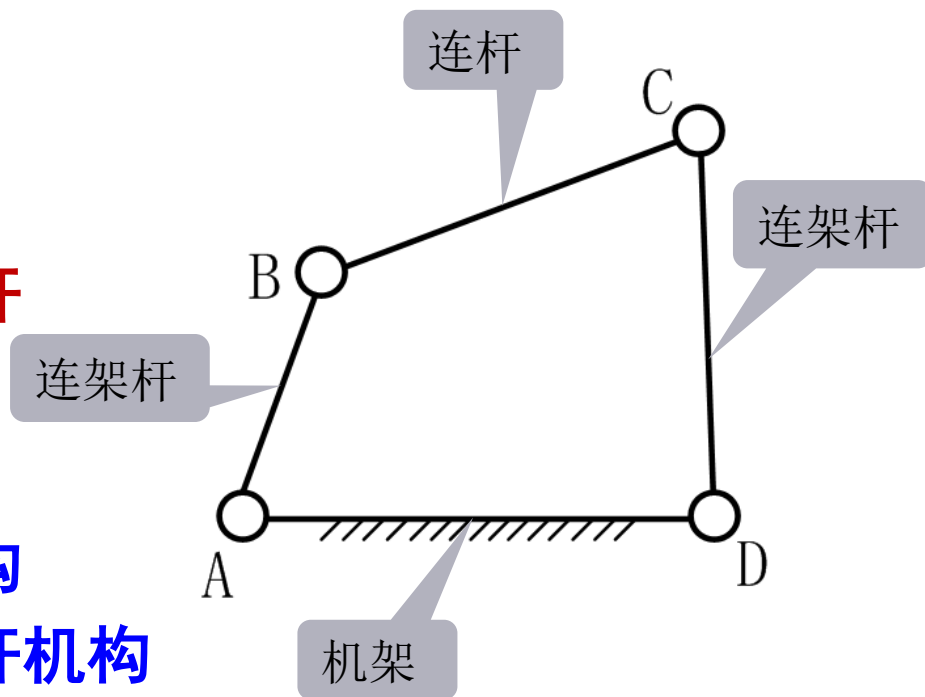
连杆的组成

- ▶ 铰链四连杆是平面四杆机构的基本形式，其他形式可以认为是它的演化形式。

- ▶ 在右图机构中：

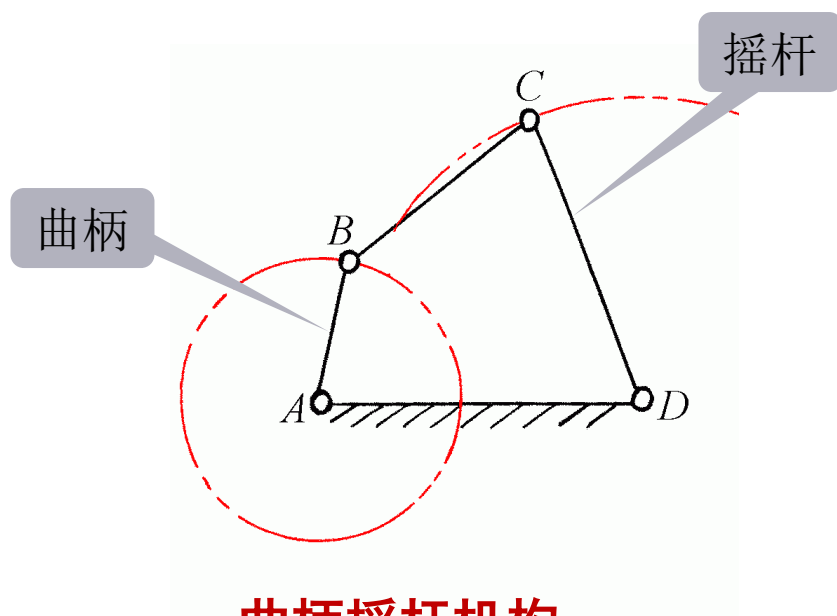
- ▶ AD为**机架**
- ▶ BC为**连杆**
- ▶ AB、CD与机架相连为**连架杆**

- ▶ 能做整周回转者为**曲柄机构**
- ▶ 只能一定范围摆动的为**摇杆机构**

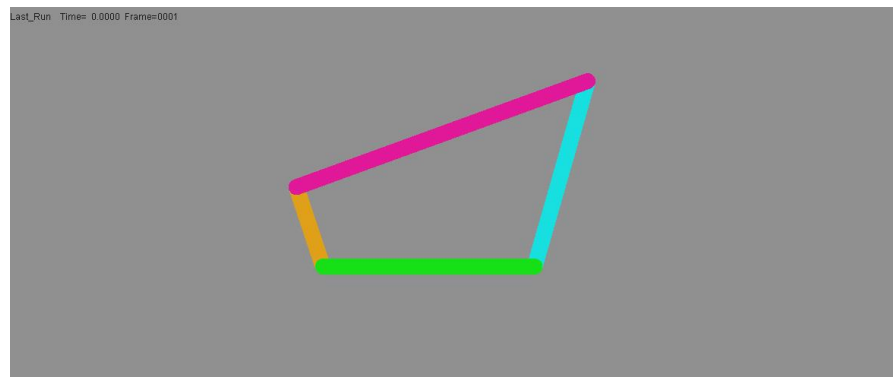


基本形式一：曲柄摇杆机构

- ▶ **曲柄摇杆机构**：铰链四杆机构的两个连架杆中，有一个为曲柄，另一个为摇杆。



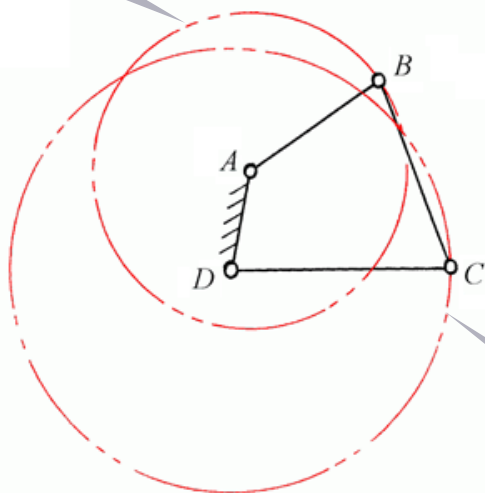
曲柄摇杆机构



基本形式二：双曲柄机构

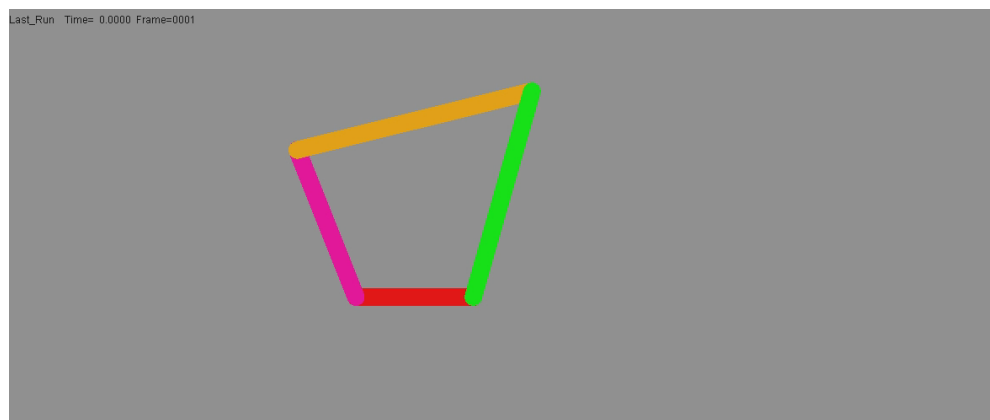
- 若铰链四杆机构中的两个连杆架均为曲柄，则称其为**双曲柄机构**。

曲柄1



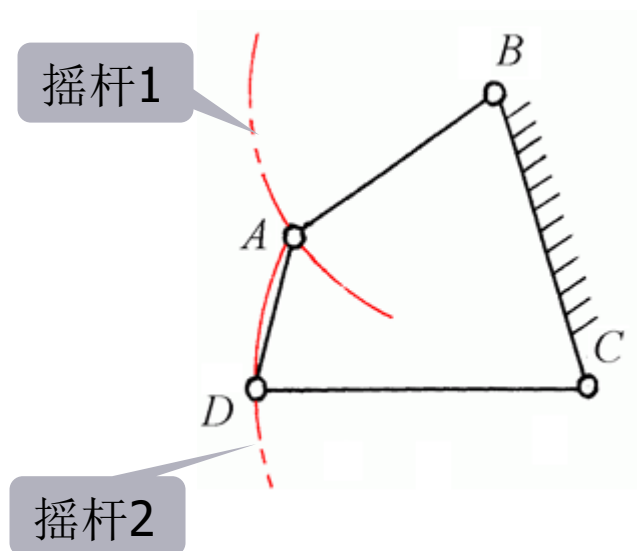
双曲柄机构

曲柄2

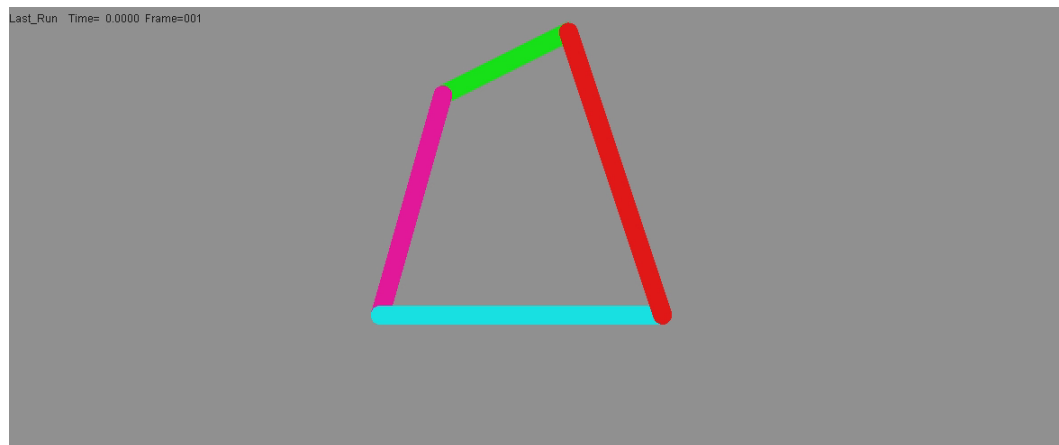


基本形式三：双摇杆机构

- 若铰链四杆机构中的两个连杆架均为摇杆，则称其为**双摇杆机构**。



双摇杆机构



曲柄摇杆机构的条件

平面四杆机构具有**整转副** → 则可能存在曲柄

若**连架杆1**若能整周回转，
必有**两次**与机架共线。

由 $\triangle B_2C_2D$ 可得：

$$l_1 + l_4 \leq l_2 + l_3$$

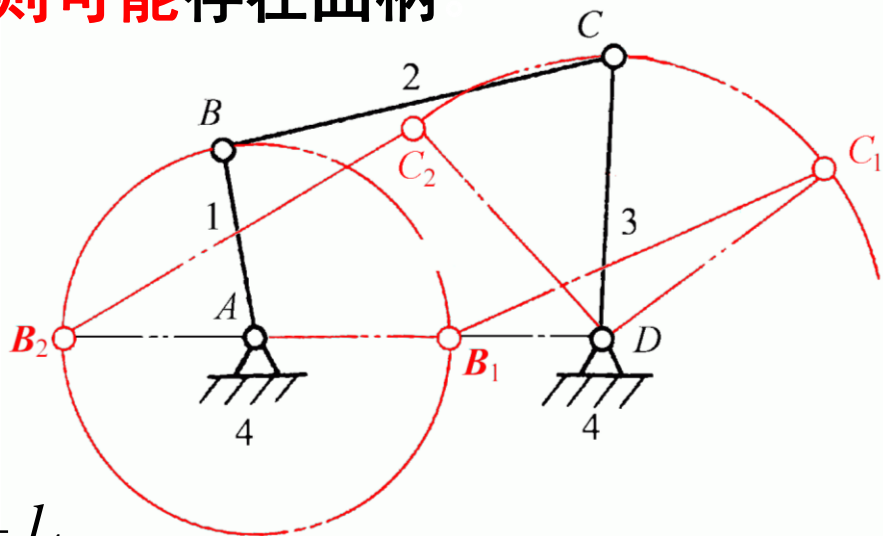
由 $\triangle B_1C_1D$ 可得：

$$l_3 \leq (l_4 - l_1) + l_2 \quad \Rightarrow \quad l_1 + l_3 \leq l_2 + l_4$$

$$l_2 \leq (l_4 - l_1) + l_3 \quad \Rightarrow \quad l_1 + l_2 \leq l_3 + l_4$$

将以上三式两两相加得（满足曲柄摇杆的条件）：

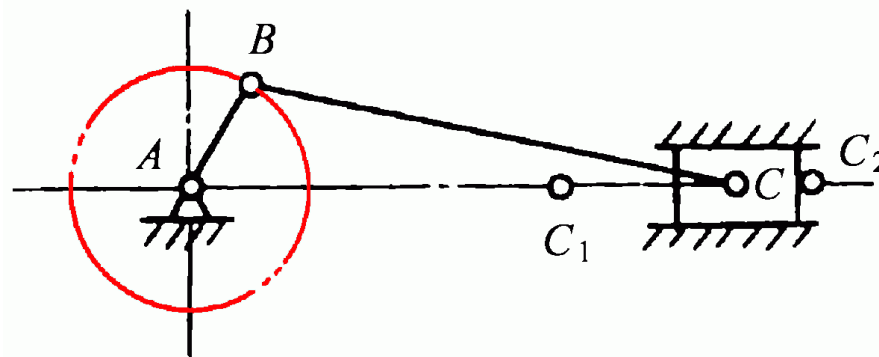
$$l_1 \leq l_2 \quad l_1 \leq l_3 \quad l_1 \leq l_4 \quad \Rightarrow \quad \text{AB 为最短杆，为曲柄摇杆机构}$$



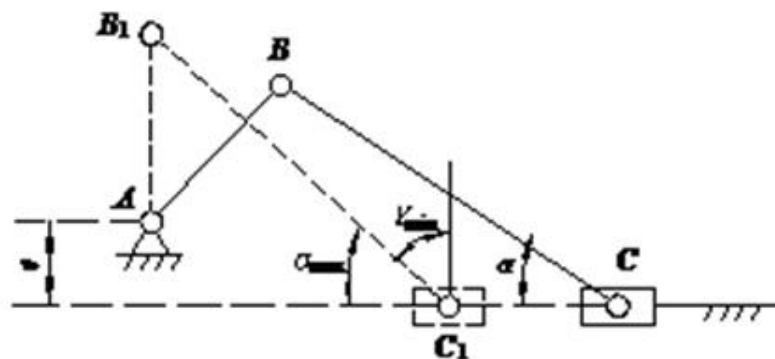
当最短杆为连杆 l_2 时，则为双摇杆机构！
当最短杆为机架 l_4 时，则为双曲柄机构！

演化形式一：曲柄滑块机构

曲柄滑块机构：

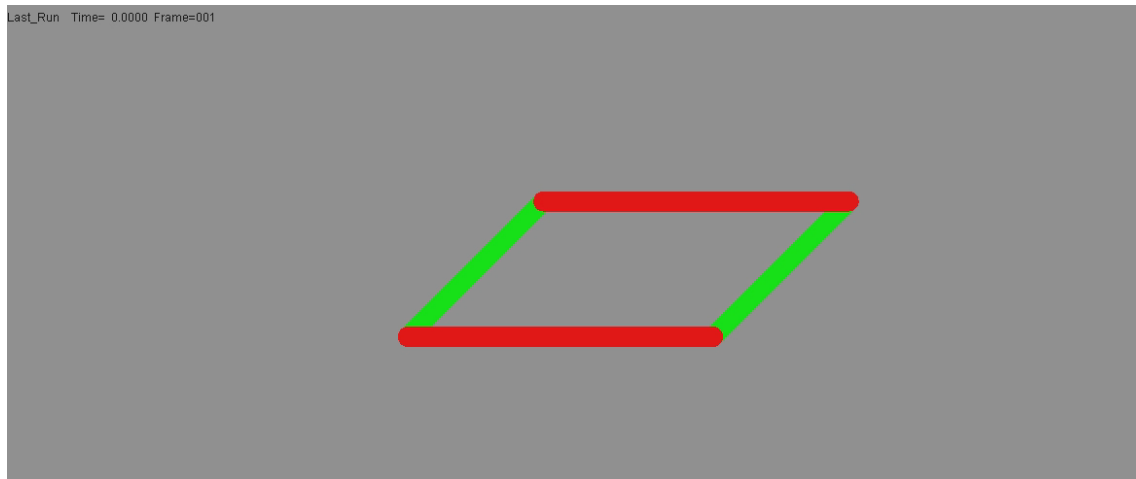


偏置曲柄滑块机构：



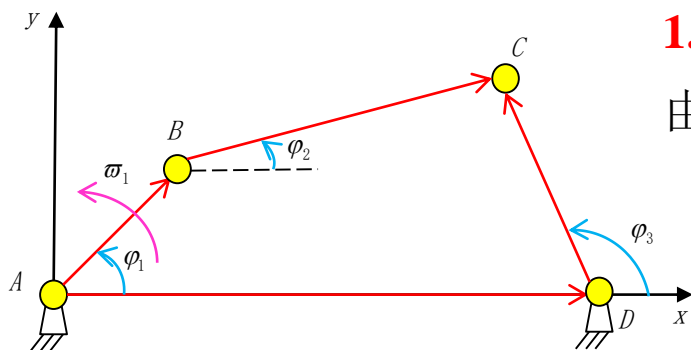
移动副可认为是回转中心由无穷远处的转动副演化而来。

演化形式二：平行四边形机构



曲柄摇杆机构的位置分析

已知: ω_1 、 φ_1 、以及各杆的长度；求: φ_3 和 φ_2 ； ω_2 和 ω_3 ； α_2 和 α_3 。



1. 建立求 φ_3 的三角方程:

由封闭矢量多边形ABCD可得: $\overrightarrow{AB} + \overrightarrow{BC} = \overrightarrow{AD} + \overrightarrow{DC}$, 即

$$l_{AB}e^{i\varphi_1} + l_{BC}e^{i\varphi_2} = l_{AD}e^{i0} + l_{DC}e^{i\varphi_3} \quad (4-1)$$

将式 (4-1) 的实部和虚部分别相等可得:

$$l_{AB} \cos \varphi_1 + l_{BC} \cos \varphi_2 = l_{AD} + l_{DC} \cos \varphi_3 \quad (4-2)$$

$$l_{AB} \sin \varphi_1 + l_{BC} \sin \varphi_2 = l_{DC} \sin \varphi_3 \quad (4-3)$$

为了消去角, 将式 (4-2) 和 (4-3) 移项再平方后相加可得:

$$l_{BC}^2 = (l_{AD} + l_{DC} \cos \varphi_3 - l_{AB} \cos \varphi_1)^2 + (l_{DC} \sin \varphi_3 - l_{AB} \sin \varphi_1)^2 \quad (4-4)$$

将上式改写为三角方程: $A \sin \varphi_3 + B \cos \varphi_3 + C = 0 \quad (4-5)$

$$A = -\sin \varphi_1 \quad B = l_{AD} / l_{AB} - \cos \varphi_1$$

$$C = (l_{AD}^2 + l_{DC}^2 + l_{AB}^2 - l_{BC}^2) / (2l_{AB}l_{DC}) - l_{AD} \cos \varphi_1 / l_{DC}$$

曲柄摇杆机构的位置分析

2. 求解 φ_3 的数学计算

$$A \sin \varphi_3 + B \cos \varphi_3 + C = 0 \quad (4-5)$$

$$\text{令 } x = \tan(\varphi_3 / 2)$$

$$\sin \varphi_3 = 2x / (1 + x^2) \quad \cos \varphi_3 = (1 - x^2) / (1 + x^2)$$

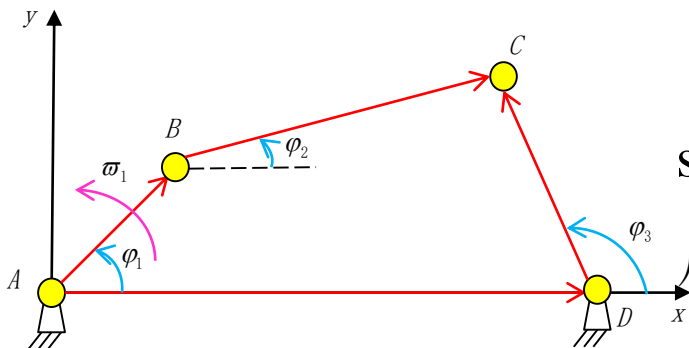
从而，式（4-5）可化成下列二次方程式

$$(B - C)x^2 - 2Ax - (B + C) = 0 \quad (4-6)$$


由（4-6）式解出 x 可得

$$\varphi_3 = 2 \arctan x = 2 \arctan \frac{A + (\text{sign})\sqrt{A^2 + B^2 - C^2}}{B - C} \quad (4-7)$$

上式中的 $\text{sign} = \pm 1$ ，表示给定 φ_1 时，可有两个值。



矢量方程解析法的步骤



步骤1、选定直角坐标系；

步骤2、选取各杆的矢量方向与转角；

步骤3、根据所选矢量方向画出封闭的矢量多边形；

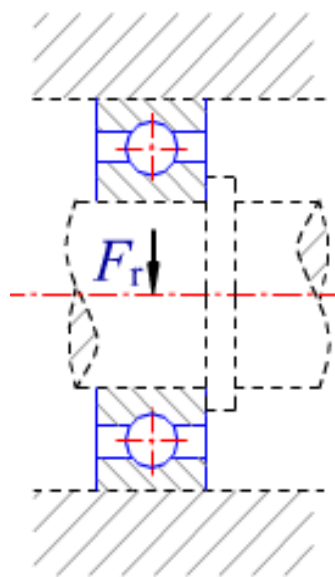
步骤4、根据封闭矢量多边形列出复数极坐标形式的矢量方程式；

步骤5、由矢量方程式的实部和虚部分别相等得到位移方程式，并求出位置解析式；

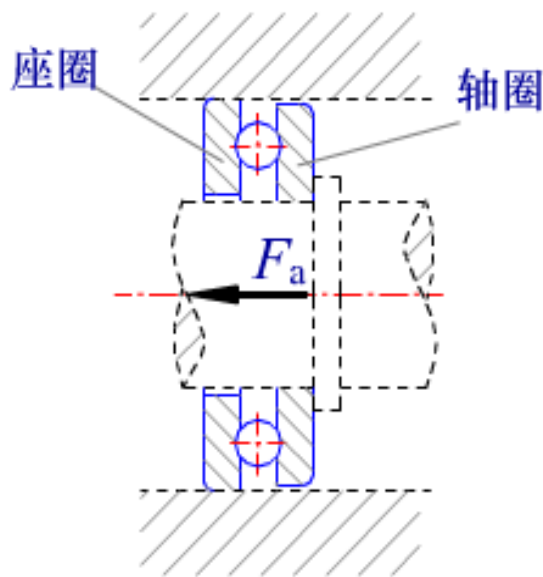
步骤6、将位移方程式对时间求导后，得出速度方程式，并求出速度解析式；

步骤7、将速度方程式对时间求导后，得出加速度方程式，并求出加速度解析式。

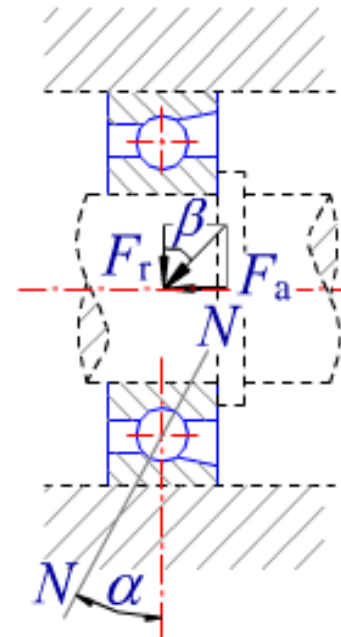
按可承受的载荷方向不同，滚动轴承分为三类：



径向接触轴承



轴向接触轴承



向心角接触轴承

- 主要用来承受径向力
- 主要用来承受轴向力
- 能同时承受径向力和较大的轴向力

接触角 α ：滚动体的载荷方向线与轴承径向平面之间的夹角；

α 越大，可以承受的轴向力越大

如何在机器中合理地使用轴承？——轴承的安装和固定

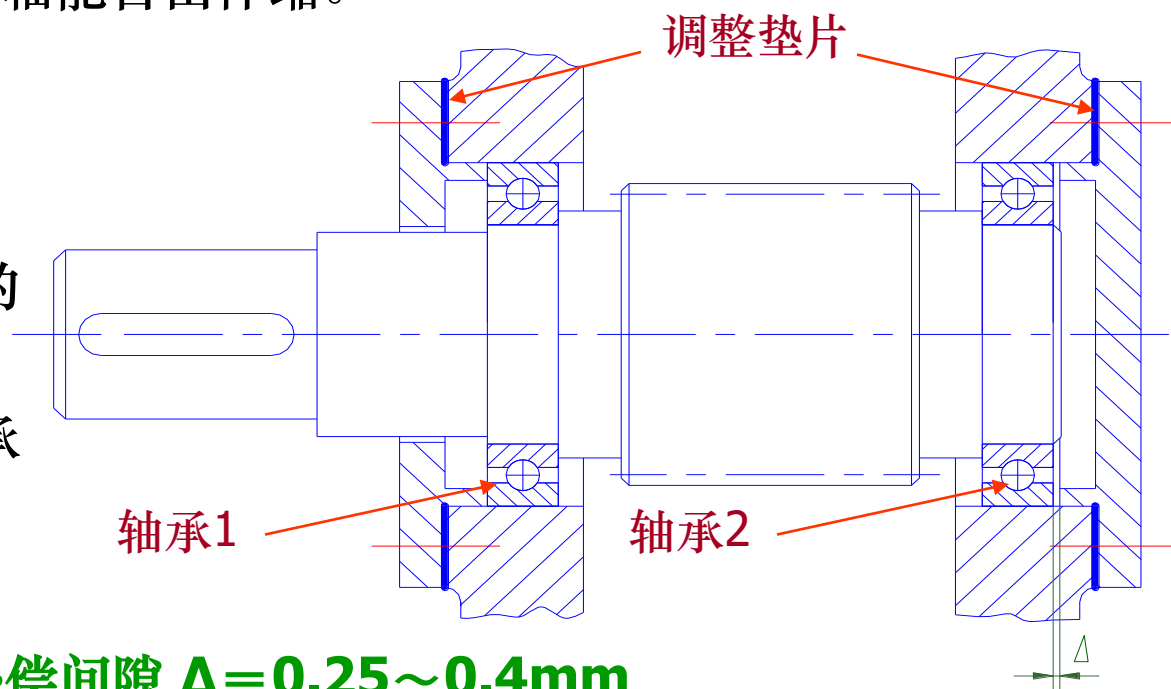
目的：通过轴承与轴和轴承座间的联接固定，使轴系在机器中有确定位置。

要求： { 1) 使轴上的载荷能可靠地传到机架上去，防止轴沿轴向串动。
2) 受热膨胀时，轴能自由伸缩。

➤轴系固定的三种方法：

两端固定支承（最常用）

通过两个轴承共同限制轴的双向串动。其中，轴承1限制轴一个方向的串动，轴承2限制反方向的串动。



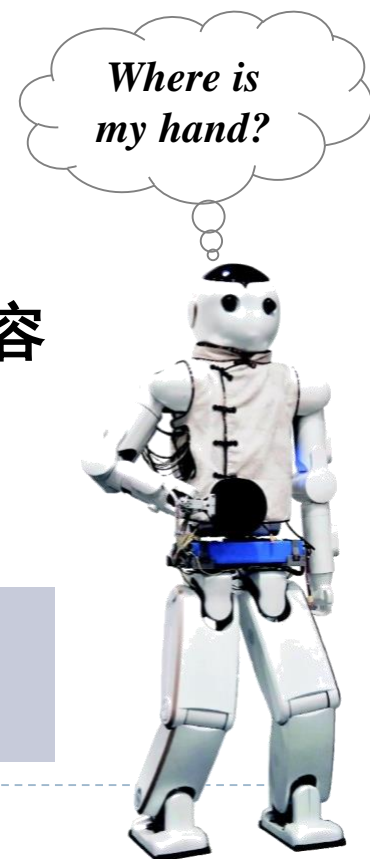
对于深沟球轴承，应留热补偿间隙 $\Delta = 0.25 \sim 0.4\text{mm}$

特点：结构简单，安装调整容易，适用于温度变化不大的短轴。

机器人运动学

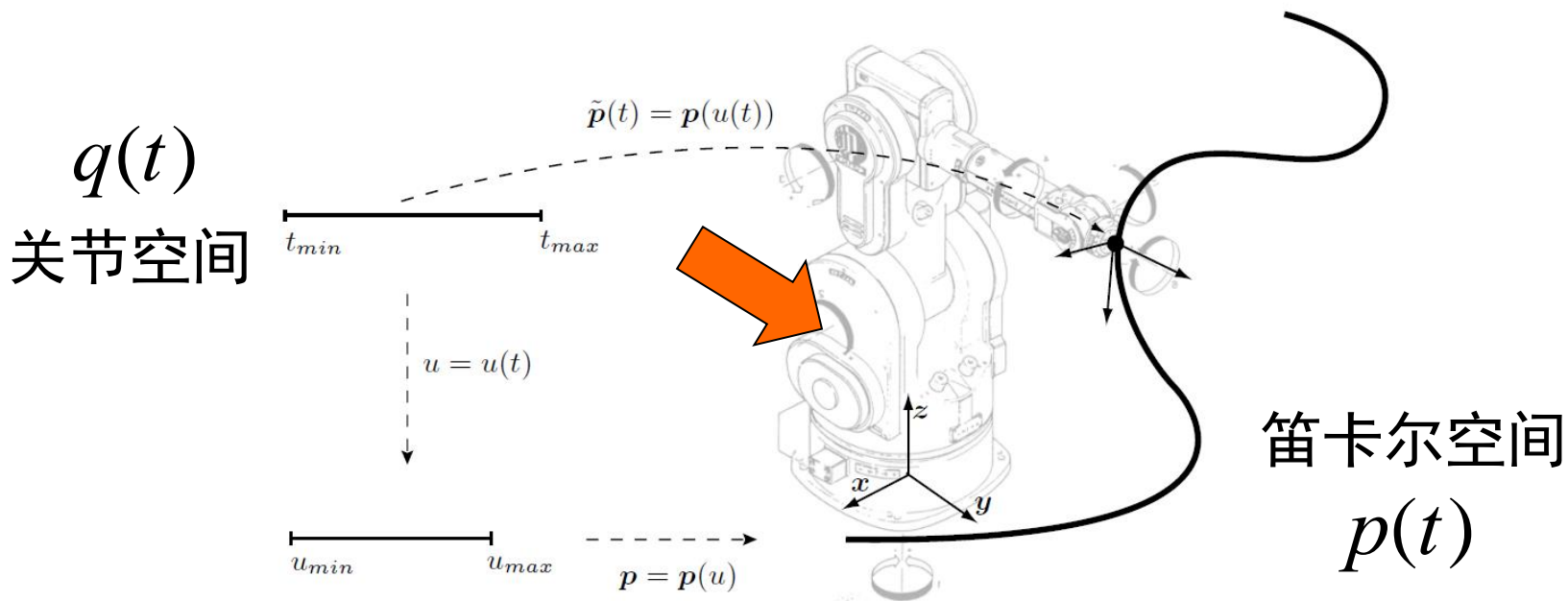
- ▶ **运动学 (Kinematics)** : 是指机器人连杆的位置和姿态（简称：**位姿**）与关节角度关系的理论。
- ▶ **正运动学**：已知关节角，求连杆末端的位姿
- ▶ **逆运动学**：已知连杆末端的位姿，求关节角度
- ▶ **涉及内容**：坐标变化、转动特性、空间速度等内容

运动学只研究物体的运动
而不考虑引起（或影响）这种运动的力



正运动学

- ▶ 给定一组关节角的值，计算工具坐标系相对于基坐标系的位置和姿态，即末端执行器位置和姿态



机器人逆运动学

- ▶ 逆运动学是指根据机器人末端位姿求解关节角
- ▶ 正运动学一般用于检验逆运动学是否正确
- ▶ 逆运动学的难度高于正运动学

求解结果：

无解

多解（可根据一定的原则，选择最优解）

唯一解

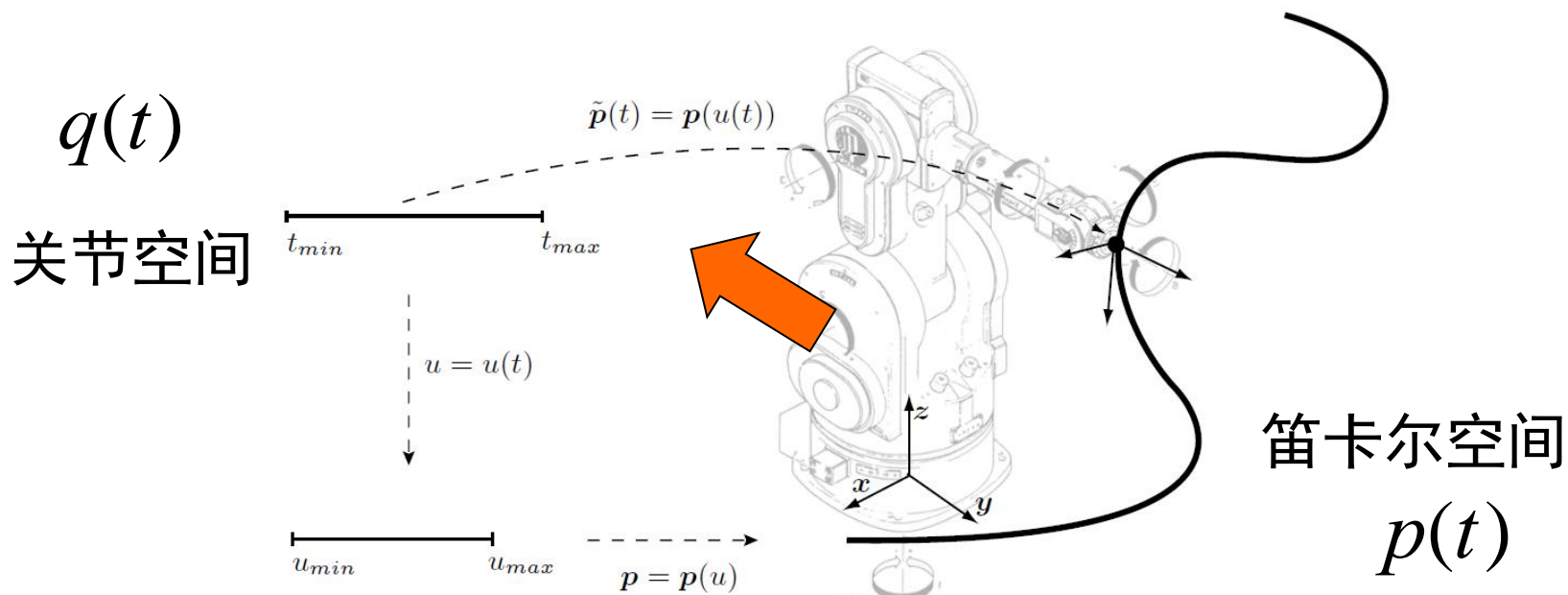
求解方法：

数值方法（需迭代，实时性差，通用性好）

解析方法（无需迭代，实时性好，通用性差）

逆运动学

- ▶ 给定操作臂末端执行器的位置和姿态，计算所有可达位置和姿态的关节角



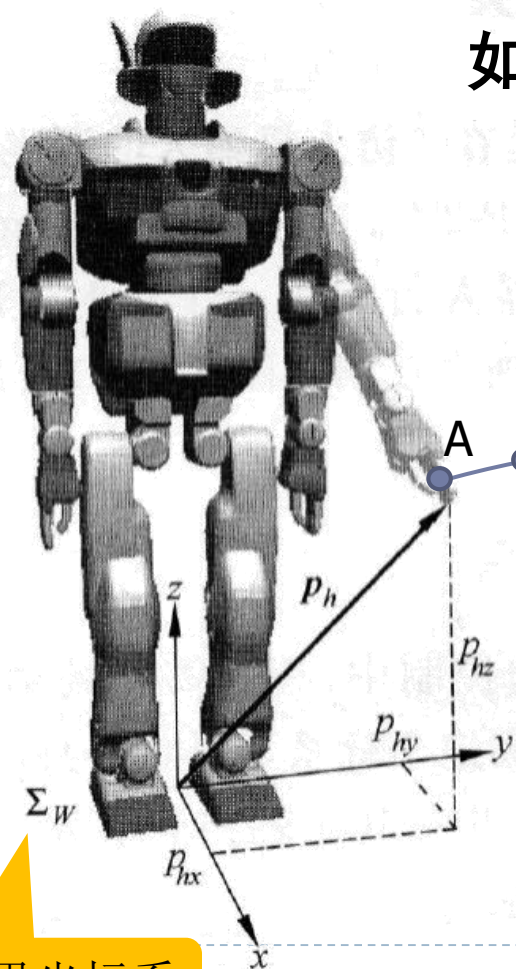
由于运动学方程是非线性的，很难得到封闭解，甚至无解同时提出了解的存在性和多解问题

坐标变换

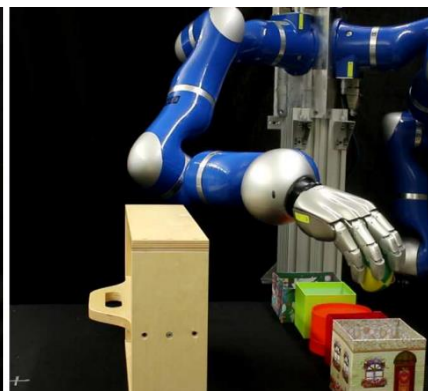
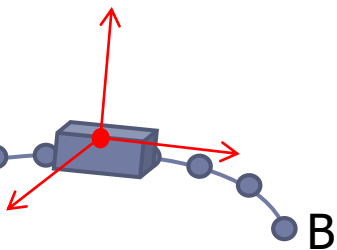
► **绝对位置**: 在世界坐标系中来描述的位置, 如手臂末端的绝对位置用三维矢量表示:

$$\mathbf{p}_h = \begin{bmatrix} p_{hx} \\ p_{hy} \\ p_{hz} \end{bmatrix}$$

前提条件: 构建每个关节的坐标系 (本文略)



世界坐标系



坐标变换

定义手端在局部坐标系a中位置为 ${}^a p_h$
那么：

$$r = {}^a p_h$$

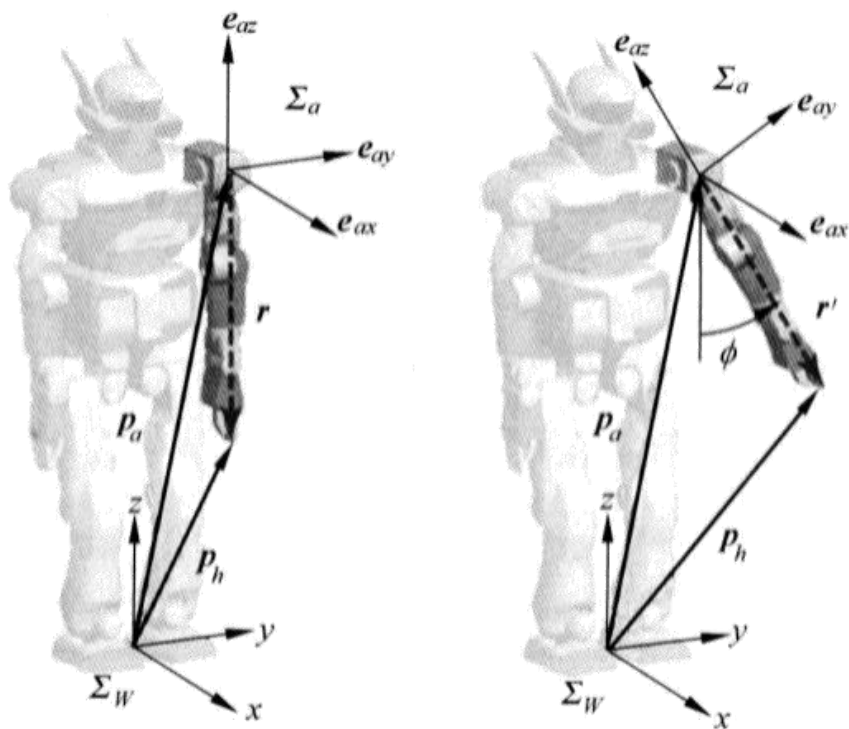
那么末端点在世界坐标系中的位置：

$$p_h = p_a + R_a {}^a p_h$$

r 和 r' 之间的关系可表示为：

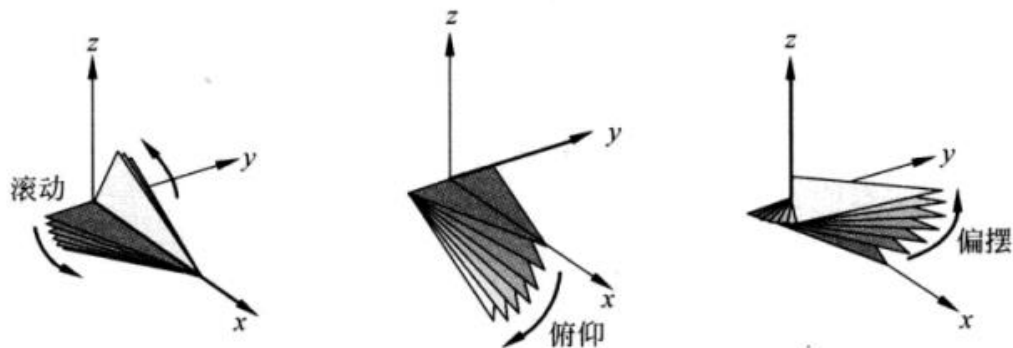
$$r' = R_a r$$

R_a 称为旋转矩阵，是在局部坐标 Σ_a 中的描述。



转动特性

- 最基本的转动: 是绕 X , Y 和 Z 轴的旋转运动, 分别称为滚动 (roll)、俯仰 (pitch) 和偏摆 (yaw)



转 动 轴	名 称	所 用 符 号
x 轴	滚动 (roll)	ϕ
y 轴	俯仰 (pitch)	θ
z 轴	偏摆 (yaw)	ψ

转动特性

- ▶ 对应于滚动（ ϕ ）、俯仰（ θ ）和偏摆（ ψ ）的旋转矩阵依次为：

$$R_x(\phi) = \begin{bmatrix} 1 & 0 & 0 \\ 0 & \cos \phi & -\sin \phi \\ 0 & \sin \phi & \cos \phi \end{bmatrix} \quad R_y(\theta) = \begin{bmatrix} \cos \theta & 0 & \sin \theta \\ 0 & 1 & 0 \\ -\sin \theta & 0 & \cos \theta \end{bmatrix}$$

$$R_z(\psi) = \begin{bmatrix} \cos \psi & -\sin \psi & 0 \\ \sin \psi & \cos \psi & 0 \\ 0 & 0 & 1 \end{bmatrix}$$



转动特性

- ▶ Z-Y-X欧拉角：如果有一点 p 绕原点依次作滚动、俯仰和偏摆，其位置将变成：

$$p' = R_z(\psi)R_y(\theta)R_x(\varphi)p$$

- 其中：

$$R_{rpy}(\varphi, \theta, \psi) = R_z(\psi)R_y(\theta)R_x(\varphi)$$

$$= \begin{bmatrix} c_\psi c_\theta & -s_\psi c_\varphi + c_\psi s_\theta s_\varphi & s_\psi s_\varphi + c_\psi s_\theta c_\varphi \\ s_\psi c_\theta & c_\psi c_\varphi + s_\psi s_\theta s_\varphi & -c_\psi s_\varphi + s_\psi s_\theta c_\varphi \\ -s_\theta & c_\theta s_\varphi & c_\theta c_\varphi \end{bmatrix}$$

- 利用上式，可以实现三维空间中从一个给定的姿态到任一姿态的变换。

The End.

Thanks for your attention.

